

Research Article

Investigating the Genetic Diversity of Common Pochard (*Aythya ferina*) Using 6 Microsatellite Markers in Iran

Shabnam Chavoshi¹, Jalil Iamani Harsini^{1*}, Hamidreza Rezaei², Pargol Ghavam Mostafavi¹

1- Department of Natural Resources and Environment, Science and Research Branch, Islamic Azad University, Tehran, Iran

2- Department of Environment, Gorgan University of Agricultural Sciences and Natural Resources, Gorgan, Iran

*Corresponding author: Jalil.imani@ut.ac.ir

Received: 12 June 2024

Accepted: 15 August 2024

DOI: 10.60833/ascij.2024.1122536

Abstract

The study of the genetic structure and diversity of the common pochard (*Aythya ferina*) in Iran was carried out using microsatellites. 30 pochards were sampled from the Caspian Sea and the Hor-al-Azim Wetland during 2019-2021. DNA extraction and amplification of microsatellite target genes were performed with the relevant primers and statistical analyses were performed with Gene Alex, GelAnalyzer, Arlequin, and MEGA software. The highest number of true alleles, 7 alleles, were observed at the Alp36 locus in the southern population, and the lowest number of true alleles, 2 alleles, were observed at the Alp36 locus in the northern population. The highest number of effective alleles with a frequency of 5.000 in the northern population was Smo11 and the lowest number of effective alleles in the northern and southern populations was 2.000 at the Alp2 and Alp36 loci. The range of heterozygosity observed in all loci of the populations was between 0.133 and 1.000, and the highest heterozygosity observed in Alp36 in the northern region and Sfiq4 in the southern region with a frequency of 1.000, and the lowest value in the northern region was observed in Mmo3 with a frequency of 0.133. The range of expected heterozygosity (He) between the sampling regions at the loci was between 0.491 and 0.800. The highest amount of expected heterozygosity in all regions was observed in the Smo11 locus in the north and the least amount of expected heterozygosity was observed in the Mmo3 locus in the south. Fst was calculated to be 0.25. According to the allele results, since Fst is less than 0.33 and all the studied loci showed significant deviation from the Hardy-Weinberg equilibrium (except for two loci sfiq4 and smo11 in the southern population which were not significant), it indicates low genetic differences between populations and high gene flow within Iranian populations. Also, the drawn phylogenetic tree shows high gene flow within populations.

Keywords: *Aythya ferina*, Genetic diversity, Microsatellite.



مقاله پژوهشی

بررسی تنوع ژنتیکی اردک سرحنائی (*Aythya ferina*) با استفاده از شش نشانگر ریزماهواره در ایران

شبینم چاوشی^۱، جلیل ایمانی هرسینی^{۱*}، حمیدرضا رضائی^۲، پرگل قوام مصطفوی^۱

۱- گروه محیط زیست و منابع طبیعی، واحد علوم و تحقیقات، دانشگاه آزاد اسلامی، تهران، ایران

۲- گروه محیط زیست، دانشگاه علوم کشاورزی و منابع طبیعی، گرگان، ایران

*مسئول مکاتبات: Jalil.imani@ut.ac.ir

تاریخ دریافت: ۱۴۰۳/۰۳/۲۳ تاریخ پذیرش: ۱۴۰۳/۰۵/۲۵

DOI: 10.60833/ascij.2024.1122536

چکیده

مطالعه ساختار و تنوع ژنتیکی اردک سرحنائی (*Aythya ferina*) زمستان‌گذران ایران با استفاده از ریزماهواره است. نمونه‌برداری ۳۰ قطعه اردک سرحنائی طی سال‌های ۱۳۹۸ تا ۱۴۰۰ از دریای خزر و تلاب هورالعظیم انجام شد. استخراج DNA و تکثیر ژن-های هدف مایکروستلایت با پرایمرهای مربوطه و تجزیه و تحلیل‌های آماری با نرم‌افزارهای GelAnalyzer، Gene Alex، Arlequin و MEGA صورت گرفت. بیشترین تعداد آلل واقعی، ۷ آلل در جایگاه ژنی Alp36 در جمعیت جنوب و کمترین آلل واقعی، ۲ آلل در جایگاه ژنی Alp36 در جمعیت شمال مشاهده گردید. بیشترین تعداد آلل موثر با فراوانی ۵/۰۰۰ در جمعیت شمال Smo11 و کمترین تعداد آلل موثر در جمعیت شمال و جنوب ۲/۰۰۰ در جایگاه ژنی Alp2 و Alp36 مشاهده گردید. دامنه هتروزیگوستی مشاهده شده در تمامی جایگاه‌های ژنی جمعیت‌ها بین ۱۰/۱۳۳ تا ۱۰/۰۰۰ بود و بیشترین هتروزیگوستی مشاهده شده در Alp36 در منطقه شمال و Sfiq4 در منطقه جنوب با فراوانی ۱/۰۰۰ و کمترین مقدار در منطقه شمال در Mmo3 با فراوانی ۱۰/۱۳۳ مشاهده گردید. دامنه هتروزیگوستی مورد انتظار (He) بین مناطق نمونه‌برداری در جایگاه‌های ژنی بین ۰/۴۹۱ تا ۰/۸۰۰ بود بیشترین هتروزیگوستی مورد انتظار در کل مناطق در جایگاه ژنی Smo11 در شمال و کمترین هتروزیگوستی مورد انتظار در جایگاه ژنی Mmo3 در جنوب مشاهده گردید. Fst ۰/۲۵ محسوبه گردید. با توجه به نتایج آلل‌ها، از آنجائی که Fst کمتر از ۰/۳۳ بوده و تمامی لوکوس‌های مورد مطالعه انحراف معنی‌داری از تعادل هارדי-واینرگ نشان دادند (بجز دو لوکوس sfiq4 و smo11 در جمعیت جنوب که فاقد معنی بودند)، حاکی از تفاوت ژنتیکی کم بین جمعیت‌ها و جریان‌ژنی بالا درون جمعیت‌های ایران است. همچنین درخت فیلوزنی ترسیم شده جریان ژنی بالای درون جمعیتی را نشان می‌دهد.

کلمات کلیدی: اردک سرحنائی، تنوع ژنتیکی، ریزماهواره، نشانگر، پرنده‌گان مهاجر.

مقدمه

شهریور تا اواخر زمستان در تلاب‌های ایران دیده - می‌شود. طی سرشماری‌هایی که هرساله توسط سازمان حفاظت محیط زیست انجام می‌شود، با وجود کاهش

اردک سرحنائی (*Aythya ferina* Linnaeus, 1758) در زیرخانواده Anatinae از خانواده Anatidae قرار دارد. این گونه‌ی مهاجر هر ساله از اواسط

زیست‌شناسی پیشرفت‌های زیادی داشته است (۱۰). ریزماهواره‌ها واحدهای پشت سرهم تکرارشونده از DNA می‌باشند، که با طول یک یا ۶-۲ جفت باز به طور گستردۀ در ژنوم یوکاریوت‌ها توزیع می‌شوند (۴). پلی مورفیسم بالای ریزماهواره‌ها، آنها را برای مطالعاتی مثل ژنتیک جمعیت، حفاظت، ساختار ژنتیکی و ... مناسب کرده است (۳، ۷). پرنده نر، سر و گردن بلوطی‌رنگ، سینه‌سیاه، زیرتنه و روتنه خاکستری کمرنگ و مقارش آبی‌کمرنگ است که قاعده و نوک آن سیاه بوده و با طولی بین ۴۲ تا ۴۹ سانتی‌متر و پیشانی بلند، فقدان تاج سر، آن را از سایر اردک‌ها تمایز می‌نماید. پرنده‌ی ماده سر و سینه‌ی قهوه‌ای - کمرنگ، چانه و نوار چشمی کمرنگ‌تر و مقارش به رنگ‌تیره‌است که انتهای آن سیاه بوده و تا حد زیادی شبیه ماده اردک سیاه کاکل است (۶).

مواد و روش‌ها

نمونه‌برداری و استخراج DNA: تهیه بافت اردک سرخنائی از استان‌های شمالی و استان خوزستان طی سال ۱۳۹۸ تا ۱۴۰۰ انجام شد. از ۳۰ نمونه اردک-سرخنائی ۱۵ نمونه از استان‌های شمالی و ۱۵ نمونه از خوزستان (که از شکارچیان ضبط شده بود) جمع-آوری شد، نمونه بافت ماهیچه به کمک اسکالپل استریل شده، جدا و داخل الكل اتیلیک ۹۶ درجه قرار گرفته و به آزمایشگاه منتقل شد. سپس قسمتی از بافت داخلی ماهیچه هر نمونه با دقیق جدا و در هاون چینی قرار داده شد، بر روی هر نمونه با دقیق جدا و در هاون نیتروژن مایع اضافه و بافت با دقیق جدا و در هاون توده سلولی را داشته باشد. نمونه‌ها با استفاده از کیت استخراج DNA بافت حیوانی شرکت ایرانی ویراثن- ایکام (Isolation of Nucleic Acids from Mammalian Tissue استخراج شد.

کلی تعداد پرنده‌گان مهاجر در کشور، در چند سال گذشته گونه اردک سرخنائی زمستان‌گذران بیشترین جمعیت را در میان پرنده‌گان مهاجر آبزی و کنار آبزی ایران دارد (۶، ۱۵). اردک سرخنائی در حدود ۲/۳ از استان‌های مختلف گزارش شده که در استان‌های گلستان، خوزستان، مازندران و گیلان به ترتیب بیشترین جمعیت اردک سرخنائی زمستان‌گذران ثبت گردیده است. اردک غواص یک گونه پالثارکتیک بوده که در اروپا و آسیا گستردۀ است و با این وجود مانند سایر پرنده‌گان آبزی، به علت کاهش جمعیت و از بین رفتن زیستگاه‌های طبیعی آن، نیازمند مدیریت و حفاظت می‌باشد (۱). اردک سرخنائی هم اکنون در لیست پرنده‌گان آسیب‌پذیر IUCN قرار گرفته است - (۹). از این رو بررسی جمعیت سرخنائی در مناطق مختلف جهان برای جلوگیری از کاهش جمعیت آن حائز اهمیت است. معتبرترین روش برای تعیین میزان پیوستگی جمعیت‌های یک گونه بررسی تقاضاتی ژنتیکی در میان آنها است. پیشرفت‌هایی که طی یکی دو دهه گذشته در زمینه زیست‌شناسی مولکولی صورت گرفته، بسیاری از محققان محیط زیست را ترغیب کرده تا با اتكای به آنها تغییرات ژنتیکی داخل و بین جمعیت‌های مختلف را بررسی نمایند (۲، ۱۶). پیشرفت برنامه‌های اصلاح نژادی و ژنتیکی و حفاظتی بستگی به سطح تغییرات ژنتیکی در جمعیت‌ها داشته، بنابراین مطالعه تنوع در نژادهای بومی و وحشی و حفاظت از آنها وظیفه‌ی اولیه متخصصان ژنتیک و اصلاح‌گران است (۵). به این منظور ارزیابی تنوع - ژنتیکی موجود در یک جمعیت از مهمترین اهداف در مطالعه ژنتیک جمعیت‌ها بوده و در زیست‌شناسی حفاظت کاربرد دارد چرا که یک گونه بدون تنوع - ژنتیکی کافی قادر به سازگاری با تغییرات محیطی و مبارزه با انگل‌ها و رقیب‌ها نخواهد بود (۱۸). تکنولوژی‌ها در زمینه نشانگرهای ژنتیکی در مطالعات

الکتروفورز عمودی حرکت داده شد. ابتدا با استفاده از مقدار مناسب آکریل آمید ۳۰ درصد، TBE5X، APS و آب مقطر ژل آماده شده و به آرامی بین دو شیشه الکتروفورز عمودی اضافه شد و در نهایت با احتیاط شانه داخل ژل قرار داده شد. سپس از هر نمونه PCR حدود ۴ میکرولیتر به داخل هر چاهک اضافه شد و دای (Dye) و رنگ و ... نیاز ندارد چون مستر میکس ویراژن رنگ دارد لذا دای برای لدر استفاده شد. دستگاه اکتروفورز عمودی بر روی ولتاژ ۱۸۰ آمپر تنظیم شد و حدود ۳-۱ ساعت طول کشید تا محصول به انتهای ژل برسد. در انتها ژل از شیشه ها جدا شده و داخل ظرف قرار داده شد و با محلول C، محلول B یا نیترات‌نقره و در آخر محلول A، (هیدروکسید سدیم ۱/۵ درصد به همراه ۲-۱/۵ میلی-لیتر فرمالدئید) ژل شستشو داده شد تا باندها ظاهر شوند. بعد از ظاهر شدن باندها دوباره ژل با آب شستشو داده شد و داخل کیسه قرار گرفت و وکیوم شد و از آن عکس تهیه شد تا برای مرحله اندازه‌گیری طول باندها آماده باشد (۸). ژلهای آکریل آمید ریزماهواره‌ها به منظور تعیین جایگاه‌های زنی به دقت بررسی شد و باندهای هر کدام از آغازگرها به دقت و با استفاده از تکنیک بصری شمارش شد. برای بالا بردن دقت کار از دستگاه ژل - آنالایزر نیز استفاده شد که نتایج بصری تایید شد. برای تعیین میزان تنوع ژنتیکی، تعداد آلل‌های واقعی، موثر، شاخص شانون، هتروزیگوستی مشاهده شده، هتروزیگوستی مورد انتظار و رسم درخت تبارشناسی در هر دو جمعیت به ازای هر جایگاه‌زنی از نرم‌افزار Arlequin و Gene Alex استفاده شد.

تکثیر ریزماهواره: پس از بررسی کمیت و کیفیت DNA استخراجی با استفاده از دستگاه ترموسایکلر مدل ۲۷۲۰ Biosystems Applied، ساخت آمریکا واکنش زنجیره‌ای پلی‌مراز در ۳۵ سیکل و با استفاده از آغازگرهای مناسب تکثیر شد. شش آغازگر (Mm03, Mm05, Apl12, Apl36, Smo11, Sfiq4) از بین آغازگرهای مطالعات Yang و همکارانش انتخاب شد تا امکان مقایسه دو مطالعه با یکدیگر بیشتر باشد (۱۳، ۱۴). برای یافتن بهترین دما در تکثیر توالی مورد نظر، یک برنامه تدریجی دما (سه دمای مختلف در محدوده‌ای از ۵۶ تا ۶۲ درجه سانتی‌گراد) استفاده شد. حجم واکنش برابر ۲۵ میکرولیتر و محتوای آن شامل ۱۳ میکرولیتر از مستر میکس شرکت ویراژن (Tag ۹)، (DNA Polymerase 2x Master Mix RED ۱ میکرولیتر آب مقطر، ۱ میکرولیتر DNA و ۱ میکرولیتر از هر آغازگر می‌باشد (جدول ۱). برنامه حرارتی در دستگاه ترموسایکلر بصورت: واسرشت-سازی اولیه در دمای ۹۵ درجه سانتی‌گراد به مدت ۱۵ دقیقه، واسرشت-سازی در دمای ۹۴ درجه سانتی‌گراد به مدت ۳۰ ثانیه، اتصال آغاز در دمای ۵۶ درجه سانتی‌گراد و به مدت ۹۰ ثانیه و مرحله بسط در دمای ۷۲ درجه سانتی‌گراد به مدت ۶۰ ثانیه، (سیکل ۳۵ بار) مرحله بسط نهایی در دمای ۷۲ درجه-ی سانتی‌گراد به مدت ۱۵ دقیقه انجام گرفت. به منظور تایید تکثیر ناحیه‌ی مورد نظر، طی واکنش PCR مقدار ۵ میکرولیتر از نمونه‌ی تکثیر شده را با ۱ میکرولیتر از DNAGreen روی ژل آگارز ۲ درصد قرار گرفت و نتایج حاصل نشان داد که محصولات PCR از کیفیت مناسبی برخوردار هستند. جهت بررسی باندهای ریزماهواره‌ها محصول PCR بر روی ژل آکریل آمید در

جدول ۱- خصوصیات ۶ آغازگر ریزماهواره‌ای

Table 1. Characterization of six microsatellite loci from *Aythya ferina*

Locus	Primer sequence (5'-3')	Gene Bank	Ref
Alp2	F: GATTCAACCTTAGCTATCAGTCTCC R: CGCTCTTGGCAAATGTCC	AY 498540	(13)
Apl36	F: ATGCCTTGCTGTTGGAGAGC R: CCACTGGGTGCAAACAAG	AY 498546	(13)
Sfiμ4	F: CTGAGGGGAAAGAGAATAAGAGA R: AGGGCAGTATTTCAGGACATT	U63685	(14)
Smo11	F: AAATCAACCAAAGAGGCATAGCC R: CAGTTGTTTGAGGACAGACA	AJ 427852	(15)
MM03	F: AAGTACATGTAAAAGCTGAAGTTGC R: TTGCCTGATAAAAGGAATGC	AY679120	(16)
MM05	F: CCAAATCTGACCACCAGGAG R: GCCGTCAAGGCAAATAGGAAC	AY679122	(16)

نتایج

در این پژوهش ۶ جفت آغازگر عمل تکثیر موفقیت-آمیز بود که محدوده‌ی باندی و تعداد آلل بدست آمده در جدول ۲ آورده شده است و درادامه پارامترهای آماری بدست آمده برای هر جایگاه ژنی و در هر جمعیت به تفسیر آمده است. نتایج پرایمر Mm05 آلل‌های مونولوگ را نشان داد که در بررسی نتایج لحاظ نگردیده است. جدول ۳ نتایج نرمافزار Alex را نشان می-دهد. تعداد آلل‌های واقعی در شمال ۲-۶ آلل و در جنوب ۳-۷ آلل و میانگین کل ۴/۳۰۰ اندازه‌گیری شد. آلل موثر در شمال از ۵-۲ آلل و در جنوب از ۲/۹۶۵-۲ آلل و میانگین کل ۲/۸۲۵ اندازه‌گیری شد. شاخص شانون بین ۱/۶۷۹-۰/۶۹۳ در شمال و ۰/۸۴۰-۱/۲۷۲ در جنوب و میانگین کل ۱/۱۲۷ اندازه‌گیری شد. هتروزیگوستی مشاهده شده در دامنه ۱/۰۰۰-۰/۴۶۷ در شمال و در جنوب

در این پژوهش ۶ جفت آغازگر عمل تکثیر موفقیت-آمیز بود که محدوده‌ی باندی و تعداد آلل بدست آمده در جدول ۲ آورده شده است و درادامه پارامترهای آماری بدست آمده برای هر جایگاه ژنی و در هر جمعیت به تفسیر آمده است. نتایج پرایمر Mm05 آلل‌های مونولوگ را نشان داد که در بررسی نتایج لحاظ نگردیده است. جدول ۳ نتایج نرمافزار Gene Alex را نشان می-دهد. تعداد آلل‌های واقعی در شمال ۲-۶ آلل و در جنوب ۳-۷ آلل و میانگین کل ۴/۳۰۰ اندازه‌گیری شد. آلل موثر در شمال از ۵-۲ آلل و در جنوب از ۲/۹۶۵-۲ آلل و میانگین کل ۲/۸۲۵ اندازه‌گیری شد. شاخص شانون بین ۱/۶۷۹-۰/۶۹۳ در شمال و ۰/۸۴۰-۱/۲۷۲ در جنوب و میانگین کل ۱/۱۲۷ اندازه‌گیری شد. هتروزیگوستی مشاهده شده در دامنه ۱/۰۰۰-۰/۴۶۷ در شمال و در جنوب

جدول ۲- تکرار نوکلئوتیدهای مناسب جایگاه‌های ۵ ریزماهواره

Table 2. Appropriate nucleotide repeats for 5 microsatellite loci

Locus	Repeat motif based on sequence clone	Ta (C)	No. of allele	Size range (bp)	Cycle
Alp2	(CA) ₁₅ GA(CA) ₃₂ AAA(CAA) ₄	56	8	96-206	35
ALP36	(CA) ₁₃ GA(CA) ₃ (GA) ₂ (CA) ₂ GA(CA) ₁₀ GA(CA) ₇ GA(CA) ₂ TA(CA) ₅	56	9	134-208	35
SFIQ4	(GA) ₁₃	56	7	153-240	35
SMO11	(TG) ₁₂ GA(G) ₁₃ (AG) ₅	56	8	121-250	35
Mm03	(CA) ₁₆	56	3	194-230	35

جدول ۳- نتایج نرم‌افزار Gene Alex
Table 3. Gene Alex software Results

Population	Locus	n	Na	Ne	He	Ho	Shannon's Index
North	Alp2	15	6	4.327	0.769	0.467	1.617
	Alp36	15	2	2.000	0.500	1.000	0.693
	Sfiq4	15	5	2.557	0.609	0.933	1.122
	Smo11	15	6	5.000	0.800	0.667	1.679
	Mm03	15	3	2.261	0.558	0.133	0.889
South	Alp2	15	3	2.000	0.500	0.333	0.868
	Alp36	15	7	2.571	0.611	0.400	1.372
	Sfiq4	15	5	2.903	0.656	1.000	1.246
	Smo11	15	3	2.663	0.624	0.533	1.039
	Mm03	15	3	2.965	0.491	0.267	0.840
Average		15	4.300	2.825	0.612	0.573	1.137

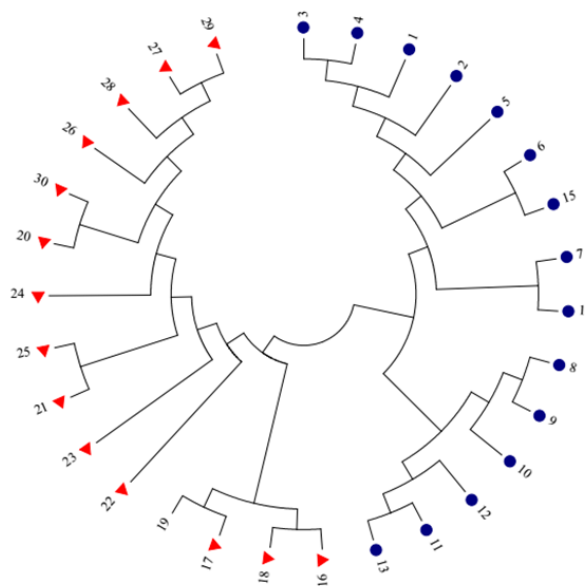
تعداد آلل‌های واقعی Na، آلل موثر Ne، شاخص شانون، هتروزیگوستی مشاهده شده Ho، هتروزیگوستی مورد انتظار He در هر دو جمعیت به ازای هر جایگاه‌زنی، n=۱۵ نمونه متعلق به شمال و n=۱۵ نمونه متعلق به جنوب ایران

Number of actual alleles (Na), effective allele (Ne), Shannon index, observed heterozygosity (Ho), expected heterozygosity (He) in both populations for each locus, samples (n=15), south samples (n=15 from the south of Iran)

جدول ۴- محاسبه Fst، Fis، Fit بر اساس آزمون AMOVA

Table 4. Calculation of Fst, Fis, Fit based on AMOVA test

F-Statistics	Value	P (rand >= data)
Fst	0.250	0.01
Fis	0.097	0.06
Fit	0.327	0.01



شکل ۱- رسم درخت فیلوزنی برای اردک سرخنائی. درخت فیلوزنی (n=۳۰) بر اساس فاصله ژنتیکی به روش پیوند هم‌جواری (NJ) با استفاده از نرم‌افزار MEGA (در نمودارها: شمال ● و جنوب ▲ می‌باشد)

Fig 1. Drawing a phylogeny tree for *Aythya ferina*. Phylogeny tree (n=30) based on genetic distance by Neighbor-Joining (NJ) method using MEGA software (North ●, South ▲)

بحث

و همکاران جریان‌زنی بالای به دست آمده را تایید می‌کند (۱۲، ۱۳). براساس نتایج به دست آمده بیشترین تعداد آلل واقعی با ۷ آلل در جایگاه زنی Alp36 در جمعیت جنوب و کمترین آلل واقعی در جایگاه زنی Alp36 در جمعیت شمال با ۲ آلل مشاهده گردید. همچنین بیشترین تعداد آلل موثر با فراوانی ۵/۰۰۰ در جمعیت شمال در جایگاه زنی Smo11 و کمترین تعداد آلل موثر در جمعیت شمال و جنوب در جایگاه زنی Alp2 و Alp36 مشاهده گردید (جدول ۲). در بررسی حاضر دامنه هتروزیگوستی مشاهده شده در تمامی جایگاه‌های زنی جمعیت‌ها بین ۰/۱۳۳ تا ۱/۰۰۰ بود و بیشترین هتروزیگوستی مشاهده شده در جایگاه زنی Alp36 در منطقه شمال و Sfiq4 در منطقه جنوب با فراوانی ۱/۰۰۰ و کمترین مقدار در منطقه شمال در جایگاه‌های زنی Mmo3 با فراوانی ۰/۱۳۳ مشاهده گردید. به منظور بررسی تنوع ژنتیکی درون جمعیتی معیارهای هتروزیگوستی مشاهده شده (Ho) و مورد انتظار (He) برای هر منطقه و در هر جایگاه زنی بدست آمد. دامنه هتروزیگوستی مورد انتظار (He) بین مناطق نمونه‌برداری در جایگاه‌های زنی بین ۰/۴۹۱ تا ۰/۸۰۰ بود بیشترین مقدار هتروزیگوستی مورد انتظار در کل مناطق در جایگاه زنی Smo11 در شمال و کمترین مقدار هتروزیگوستی مورد انتظار در جایگاه زنی Mmo3 در جنوب مشاهده گردید (جدول ۳). براساس نتایج به دست آمده فاصله ۱۹۷۲ ژنتیکی و شباهت ژنتیکی بر اساس شاخص Nei بین جمعیت‌های مورد بررسی با استفاده از نرم‌افزار GeneAlex ۰/۹۶ و ۰/۳۸۳ به ترتیب بدست آمد. نتایج به دست آمده آزمون AMOVA با ۹۹۹ بار جای‌گذاری نشان می‌دهد و میزان جریان زنی (Nm) و تمایز ژنتیکی (Fst) به ترتیب ۰/۷۳ و ۰/۲۵ بدست آمد (جدول ۴). تنوع ژنتیکی براساس سلسله مراتب

بیشترین مطالعات اردک سرخنائی از لحاظ جمعیتی صورت گرفته است و یانگ و همکارانش در سال ۲۰۱۱ به صورت خواص با استفاده از ریزماهواره‌ها بر روی جمعیت اردک سرخنائی مطالعه نمودند (۱۴)، لذا در این مطالعه به منظور مقایسه دقیق‌تر با استفاده از ۶ نشانگر ریزماهواره‌ای مورد مطالعه توسعه یانگ و همکاران ساختار ژنتیکی اردک سرخنائی زمستان گذران در ایران مورد مطالعه قرار گرفت. مطالعات نشان داد نشانگر Mmo5 آلل‌های همولوگ هستند، بنابراین در محاسبات استفاده نگردید. میانگین آلل‌های واقعی و موثر در جمعیت شمال معنی‌دار نبوده ولی در جمعیت جنوب تفاوت معنی‌داری نشان می‌دهند (جدول ۲). میانگین شاخص شانون ۱/۱۲۷ بوده که تفاوت معنی‌داری را نشان می‌دهد. تفاوت هتروزیگوستی مشاهده شده و قابل انتظار در شمال معنی‌دار نبوده ولی در جنوب تفاوت معنی‌داری نشان می‌دهد که تمامی نتایج نشان از تنوع درون گونه‌ای بیشتری در جمعیت جنوب دارد. همچنین براساس نتایج به دست آمده بیشترین تعداد آلل واقعی با ۷ آلل در جایگاه زنی Alp36 در جمعیت جنوب و کمترین آلل واقعی در جایگاه زنی Alp36 در جمعیت شمال با ۲ آلل مشاهده گردید (جدول ۳). نتایج به دست آمده با نتایج Yang و همکاران در سال ۲۰۱۱ که نمونه‌های دریای خزر را مورد مطالعه داده‌اند، هم خوانی دارد (۱۴). نتایج به دست آمده، مقادیر Ho و He در سطح جایگاه زنی نیز برای کل نمونه‌ها محاسبه گردید که سطح تغییرپذیری هر جایگاه زنی را در کل مناطق مورد بررسی نشان می‌دهد. تفاوت میانگین هتروزیگوستی مشاهده شده و قابل انتظار در شمال و جنوب معنی‌دار نیست. میزان جریان زنی ۰/۷۳ بوده، که نشان از جریان زنی بالا در درون جمعیت‌ها می‌باشد. Fst ۰/۲۵ کمتر از ۰/۳۳ است که بر اساس نتایج HE

Fereydunkenar International wetland (Iran). *Environmental Monitoring and Assessment*, 188(12):648- 666.

3. Askari N.A., Mahmodi R. 2011. ISSR markers for assessing DNA polymorphism and genetic characterization of cattle, goat and sheep populations. *Iranian Journal of Biotechnology*, 9:222-229.
4. Bataillon T.M., David J.L., Schoen D.J. 1996. Neutral genetic markers and conservation genetics: simulated germplasm collections. *Genetics*, 144(1):409-417.
5. Corbin K.W., Cooke F., Buckley P. 1987. Avian genetics: A population and ecological approach. Academic Press Inc. (London), 321-53.
6. Daian A. 1988. Birds of the Middle orient and the near orient. IRAN: *Tehran University Press*, 55-56.
7. Denk A., Gautschi B., Carter K., Kempenaers B. 2004. Seven polymorphic microsatellite loci for paternity assessment in the mallard (*Anas platyrhynchos*). *Molecular Ecology Notes*, 4(3):506-508.
8. Fields R., Scribner K.T. 1997. Isolation and characterization of novel waterfowl microsatellite loci: cross-species comparisons and research applications. *Molecular Ecology*, 6(2):199-202.
9. Folliot B.G., Champagnon M., Caizergues J.A. 2018. Patterns of spatial distribution and migration phenology of common pochards *Aythya ferina* in the Western Palearctic: A ring-recoveries analysis. *Wildlife Biology*, 1:1-11.
10. Gunter K. 2009. The dictionary of gene technology genomics, transcription proteomics, wiley-vch Verlag GmbH and Co. KgaA. Weinheim, 18-26.
11. Gautschi B., Koller B. 2005. Polymorphic microsatellite markers for the goosander (*Mergus merganser*). *Molecular Ecology Notes*, 5(1):133-134.

جمعیتی دو منطقه مورد مطالعه بر اساس آزمون Fst در سطح احتمال یک درصد بر اساس ANOVA محاسبه گردید. بیشترین درصد اختلاف در درون و بین افراد مربوط می‌شود و اختلاف بین جمعیت‌ها ۲۶ درصد بود. درخت فیلوزنی ترسیم شده نیز نشان از جریان ژنی بالا و تفاوت درون‌جمعیتی نمونه‌های شمال و جنوب دارد.

نتیجه‌گیری

هرچند که نتایج بدست آمده تنوع ژنتیکی پایین داشته و تفاوت هتروزیگوستی معنی داری را نشان نمی‌دهد، اما برای نتیجه‌گیری مطمئن‌تر نیاز به بررسی‌های بیشتری از افراد این گونه در جهان و به ویژه در مناطق جنوب ایران است. لذا با در نظر گرفتن نتایج پژوهش و مقایسه آن با نمونه‌های ژن بانک حضور پرنده‌گان از مناطق اروپا و آسیا در ایران تایید می‌شود، لذا اقدامات حفاظتی و مدیریتی لازم برای حفظ تالاب‌های ایران و جلوگیری از خشک شدن آن‌ها به ویژه در جنوب، به عنوان مناطق مهم و کلیدی جهت حضور پرنده‌گان مهاجر به منظور مکانی برای حفظ اختلاط ژنتیکی آنها باید صورت پذیرد.

تشکر و قدردانی

نگارندگان بدینوسیله بر خود لازم می‌دانند، از جانب آفای دکتر طالب خالوئی مدیر کل اداره محیط‌زیست کرمان که ما را در جمع‌آوری نمونه‌ها یاری کرده‌اند تشکر و قدردانی نمایند.

منابع

1. Adams N.B., Battey R.R., Clark C., Epperly M.W. 2023. Widespread gene flow following range expansion in Anna's Hummingbird. *Molecular Ecology*, 32: 3089-3101.
2. Ahmadpour M., Lan-Hai L. 2016. Mercury concentration in the feathers of birds from various trophic levels in

- for the eider duck *Somateria mollissima* and their cross-species applicability among waterfowl species (Anatidae). *Molecular Ecology Notes*, 3(2):250-268.
17. Schägger H., Von Jagow G. 1987. Tricine-sodium dodecyl sulfate-polyacrylamide gel electrophoresis for the separation of proteins in the range from 1 to 100 kDa. *Analytical Biochemistry*, 166(2): 368-379.
18. Thorp J.P. 1982. The molecular clock hypothesis: Biochemical evolution, genetic differentiation and systematic. *Annual Review of Ecology and Systematics*, 13:139-168.
12. He H.Y., Wei C., Yuan F. 2006. Genetic variation of the Mmitochondrial ND1 region among geographical populations of *Sitodiplosis mosellana* (Gehin) (Diptera: Cecidomyiidae) in China. *Journal of Kansas Entomology Society*, 79:11-22.
13. Liu W., Hou Z.C., Qu L.J., Huang Y.H., Yao T.F., Li N., Yang N. 2008. Population structure and Biodiversity of Chinese Indigenous Duck Breeds Revealed by 15 Microsatellite Markers. *Asian-Australasian Journal of Animal Sciences*, 21(3):133-134.
14. Liu Y., Gerald I., Heckel K. 2011. Range-wide genetic population structure of common pochard (*Aythya ferina*): a potentially important vector of highly pathogenic avian influenza viruses. *Ecology and Evolution*, 1:529-545.
15. Mansory J. 2008. Ornithology. IRAN: *Farzaneh*, 112-113.
16. Paulus K., Tiedemann R. 2003. Ten polymorphic autosomal microsatellite loci

